

# Un point de vue sur des approches factorielles et probabilistes de la covariance

Application à l'analyse locale du mouvement

Sullivan Hidot

Laboratoire Informatique, Image et Interactions (L3i)

Université de La Rochelle

Directeur de Thèse : Jean-Yves Lafaye

Co-encadrant : Christophe Saint-Jean

7 décembre 2007



# Contexte



# Contexte



On s'intéresse au modèle de décomposition suivant :

$$X_t = \varphi(t) + \varepsilon_t$$

$\varphi(t)$  : fonction déterministe du temps ;  $\varepsilon_t$  : écart à la tendance

# Contexte

METHODES FACTORIELLES

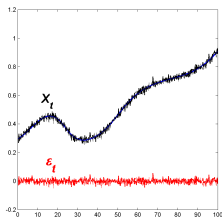
COVARIANCE

METHODES PROBABILISTES

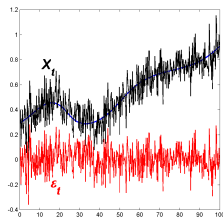
On s'intéresse au modèle de décomposition suivant :

$$X_t = \varphi(t) + \varepsilon_t$$

$\varphi(t)$  : fonction déterministe du temps ;  $\varepsilon_t$  : écart à la tendance



Méthodes factorielles



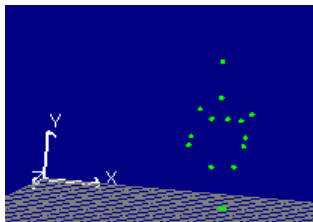
Méthodes probabilistes

# Application à l'analyse spatio-temporelle

## Mouvement dansé



Danseur équipé de capteurs



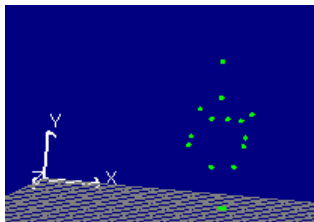
Mouvement Enveloppé

# Application à l'analyse spatio-temporelle

## Mouvement dansé



Danseur équipé de capteurs



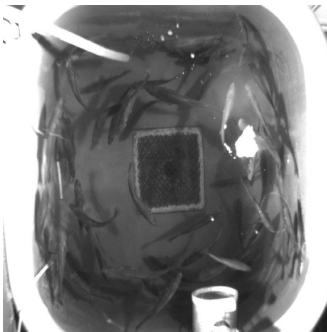
Mouvement Enveloppé

Les caractéristiques qui seront mises en valeur sont liées à :

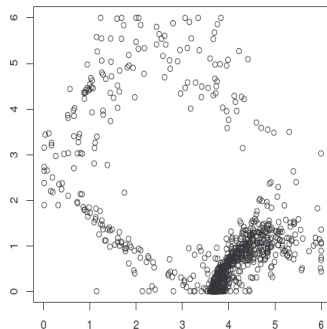
- la morphologie
- l'interaction
- l'échantillonnage temporel

# Application à l'analyse spatio-temporelle

## Biologie marine



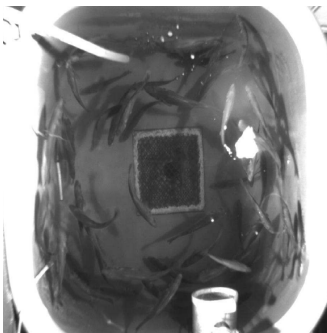
Bassin aquacole



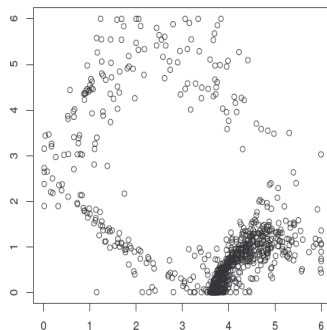
Captures du poisson

# Application à l'analyse spatio-temporelle

## Biologie marine



Bassin aquacole



Captures du poisson

La contrainte est liée à l'échantillonnage temporel

# Plan général

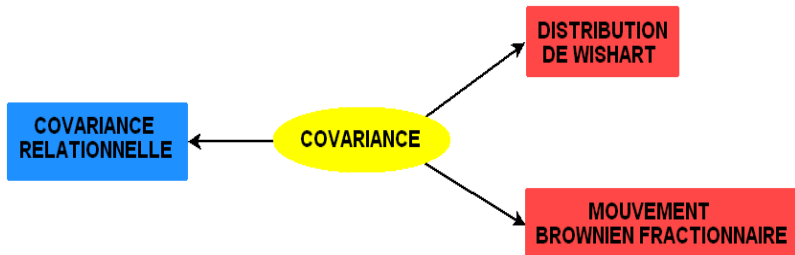
$$X_t = \varphi(t) + \varepsilon_t$$

Partie 1 :  $\varphi(t)$

APPROCHES FACTORIELLES

Partie 2 :  $\varepsilon_t$

APPROCHES PROBABILISTES



# Plan

## Approches liées à la statistique géométrique

- Covariance et espérance relationnelles
- Analyse en composantes principales
- Analyse d'opérateurs de covariance

## Approches probabilistes

- Distribution de Wishart
- Analyse fractale

## Conclusion et perspectives

# Covariance

Soit  $(\Omega, \mathcal{T}, P)$  un espace probabilisé.

## Propriété [Leb69]

La covariance entre deux variables aléatoires centrées  $X$  et  $Y$  se calcule en utilisant la formule quadratique :

$$\text{Cov}(X, Y) = \frac{1}{2} \iint_{\Omega \times \Omega} (X(\omega) - X(\omega'))(Y(\omega) - Y(\omega')) dP(\omega) dP(\omega')$$

On utilise une mesure produit pour définir la covariance, ce qui permet l'ajout d'une connaissance exogène sur les individus.

# Covariance relationnelle

La covariance relationnelle se définit à l'aide d'un graphe de relation binaire entre les individus :

$$g(\omega, \omega') = \begin{cases} 1 & \text{si } \omega \text{ est connecté à } \omega' \\ 0 & \text{sinon} \end{cases}$$

# Covariance relationnelle

La covariance relationnelle se définit à l'aide d'un graphe de relation binaire entre les individus :

$$g(\omega, \omega') = \begin{cases} 1 & \text{si } \omega \text{ est connecté à } \omega' \\ 0 & \text{sinon} \end{cases}$$

La covariance classique s'exprime par :

$$\text{Cov}(X, Y) = \frac{1}{2} \iint_{\Omega \times \Omega} (X(\omega) - X(\omega'))(Y(\omega) - Y(\omega')) dP(\omega) dP(\omega')$$

## Définition (Covariance relationnelle)

$$\text{Cov}_g(X, Y) =$$

$$= \frac{1}{2\kappa} \iint_{\Omega \times \Omega} (X(\omega) - X(\omega'))(Y(\omega) - Y(\omega')) g(\omega, \omega') dP(\omega) dP(\omega')$$

# Covariance relationnelle

## Propriété [HLSJ07]

La covariance relationnelle utilise implicitement une version symétrisée du graphe  $g$ .

On a la relation :

$$\text{Cov}_g(X, Y) = \text{Cov}_{g^*}(X, Y)$$

où

$$g^*(\omega, \omega') = \frac{1}{2}(g(\omega, \omega') + g(\omega', \omega))$$

On pourra choisir sans perte de généralité un graphe **symétrique**

# Covariance relationnelle

Pour les exemples d'application, on considère le graphe :

$$g_{\theta}(\omega, \omega') = \begin{cases} 1 & \text{si } |\omega - \omega'| \leq \theta \\ 0 & \text{sinon} \end{cases}$$

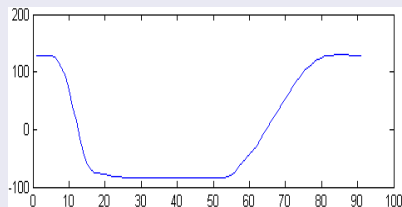
# Covariance relationnelle

Pour les exemples d'application, on considère le graphe :

$$g_{\theta}(\omega, \omega') = \begin{cases} 1 & \text{si } |\omega - \omega'| \leq \theta \\ 0 & \text{sinon} \end{cases}$$

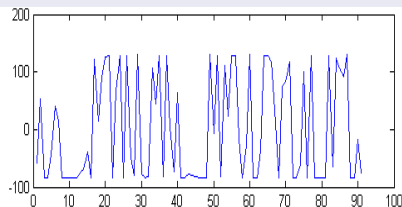
Exemple :  $\theta = 5$

$X$



$$\begin{aligned} \sigma(X) &= 89.59 \\ \sigma_{g_{\theta}}(X) &= 18.14 \end{aligned}$$

$X_{perm}$



$$\begin{aligned} \sigma(X_{perm}) &= 89.59 \\ \sigma_{g_{\theta}}(X_{perm}) &= 82.75 \end{aligned}$$

# Espérance relationnelle

## Définition [HLSJ07]

Posons pour tout  $\omega \in \Omega$ :

$$E(X|g)(\omega) = \frac{1}{deg(\omega)} \int_{\Omega} X(\omega')g(\omega, \omega')dP(\omega')$$

où

$$deg(\omega) = \int_{\Omega} g(\omega, \omega')dP(\omega')$$

$E(X|g)(\omega)$  est appelée *espérance relationnelle* de la variable aléatoire  $X$  mesurée sur le voisinage de  $\omega$  selon le graphe  $g$ .

# Espérance relationnelle

Soit  $\langle \cdot, \cdot \rangle_Q$  le produit scalaire défini par la densité de probabilité  $Q$  :

$$Q(\omega) = \frac{P(\omega) \deg(\omega)}{\kappa}$$

## Propriété [HLSJ07]

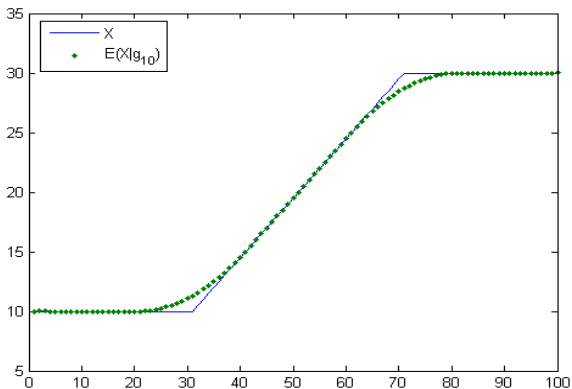
La covariance relationnelle entre  $X$  et  $Y$  est égale au produit scalaire pour  $Q$  de  $X$  avec l'écart de  $Y$  à son espérance relationnelle :

$$\text{Cov}_g(X, Y) = \langle X, Y - E(Y|g) \rangle_Q = \langle X - E(X|g), Y \rangle_Q$$

# Espérance relationnelle

Exemple :  $\theta = 10$

$$\text{Var}_g(X) = \langle X, X - E(X|g) \rangle_Q$$



# Plan

## Approches liées à la statistique géométrique

- Covariance et espérance relationnelles
- **Analyse en composantes principales**
- Analyse d'opérateurs de covariance

## Approches probabilistes

- Distribution de Wishart
- Analyse fractale

## Conclusion et perspectives

# Analyse en composantes principales relationnelle

Le graphe induit une métrique  $\Delta$  sur les variables appelée *laplacien*

ACP relationnelle = ACP du triplet statistique  $(\mathbb{X}, M, \frac{1}{\kappa} \Delta)$

La matrice de covariance relationnelle s'exprime par :

$$V_g = \frac{1}{\kappa} \mathbb{X} \Delta \mathbb{X}$$

# Analyse en composantes principales relationnelle

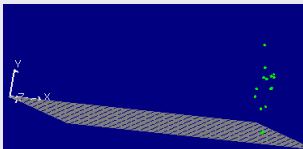
Le graphe induit une métrique  $\Delta$  sur les variables appelée *laplacien*

ACP relationnelle = ACP du triplet statistique  $(\mathbb{X}, M, \frac{1}{\kappa} \Delta)$

La matrice de covariance relationnelle s'exprime par :

$$V_g = \frac{1}{\kappa} \mathbb{X} \Delta \mathbb{X}$$

Exemple : mouvement Marche [HLSJ06b]





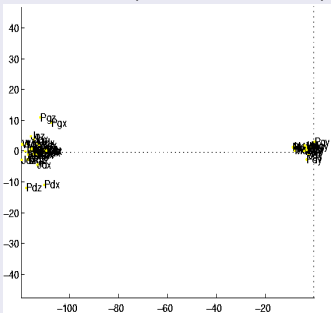
# Analyse en composantes principales

## Représentations graphiques

### Exemple : mouvement Marche [HLSJ06b]

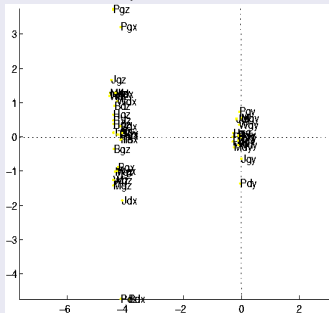
ACP standard

Plan 1 × 2 (99.70%+0.15%)



ACP relationnelle ( $\theta = 5$ )

Plan 1 × 2 (75.84%+13.12%)



# Analyse en composantes principales

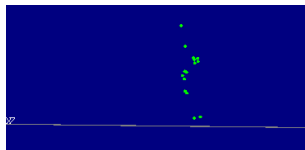
## Application à la reconstruction partielle

Les données initiales peuvent s'obtenir à partir des composantes principales :

$$\mathbb{X} = C^t U + \bar{X}$$

Il est possible de reconstruire partiellement les données en choisissant un nombre restreint de composantes principales :

$$\hat{\mathbb{X}} = \tilde{C}^t \tilde{U} + \bar{X}$$


 $C_1$ 

 $C_2$

# Plan

## Approches liées à la statistique géométrique

- Covariance et espérance relationnelles
- Analyse en composantes principales
- **Analyse d'opérateurs de covariance**

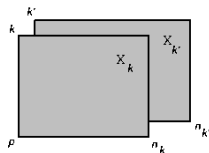
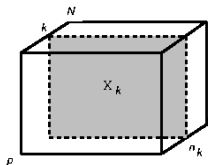
## Approches probabilistes

- Distribution de Wishart
- Analyse fractale

## Conclusion et perspectives

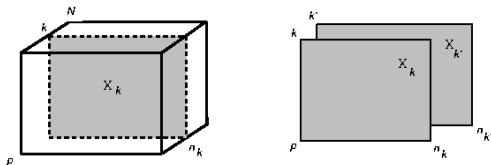
# Analyse d'opérateurs de covariance

Extension de l'ACP aux tableaux à trois entrées :



# Analyse d'opérateurs de covariance

Extension de l'ACP aux tableaux à trois entrées :



L'analyse d'opérateurs de covariance est la généralisation de l'ACP aux matrices de covariance relationnelle **[HLSJ06c]** :

$$\Gamma_k = \frac{1}{K_k} \mathbb{X}_k \Delta_k \mathbb{X}_k$$

munis du produit scalaire de Hilbert-Schmidt :

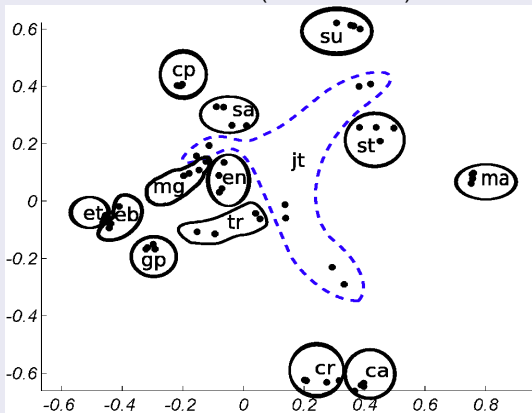
$$\mathcal{H}(k, k') = \langle \Gamma_k, \Gamma_{k'} \rangle_{HS} = \text{trace}(\Gamma_k^* \Gamma_{k'}) = \text{trace}(\Gamma_k \Gamma_{k'})$$

# Analyse d'opérateurs de covariance

## Représentations graphiques

Exemple : opérateurs normés avec  $\theta = 10$

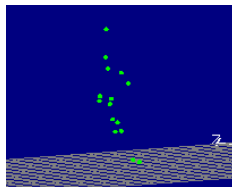
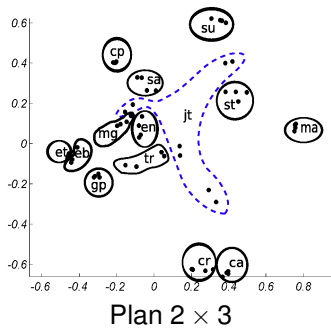
Plan  $2 \times 3$  (13% + 11%)



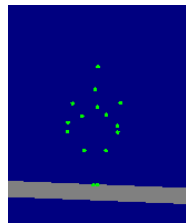
# Analyse d'opérateurs de covariance

## Représentations graphiques

Interprétation de l'axe 2 : corrélation / décorrélation en  $(x, z)$



Enroulé bassin



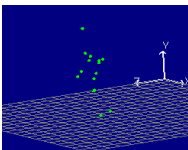
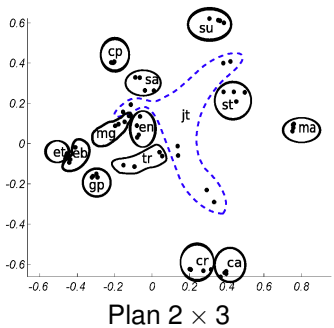
Saut attitude



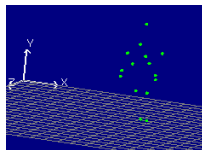
# Analyse d'opérateurs de covariance

## Représentations graphiques

Interprétation de l'axe 3 : corrélation membres supérieurs / inférieurs



Suspension

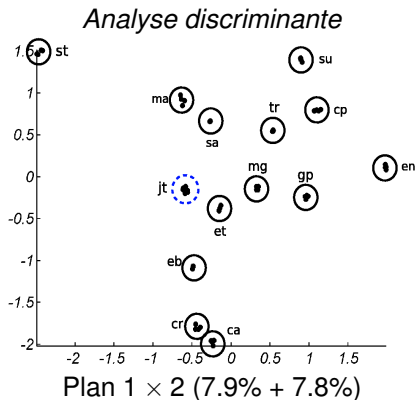
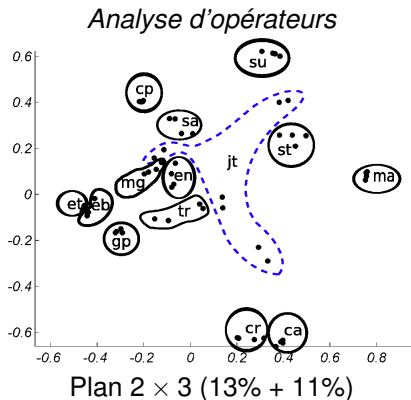


Chute allongée



# Analyse discriminante d'opérateurs de covariance

Extension à l'analyse discriminante [HLSJ06a]



# Plan

## Approches liées à la statistique géométrique

- Covariance et espérance relationnelles
- Analyse en composantes principales
- Analyse d'opérateurs de covariance

## Approches probabilistes

- Distribution de Wishart
- Analyse fractale

## Conclusion et perspectives

# Rappel du modèle

Modèle :

$$X_t = \varphi(t) + \varepsilon_t$$

Le terme  $\varepsilon_t$  est obtenu en supprimant la tendance de  $X_t$  :

$$\varepsilon_t = X_t - \varphi(t)$$

$\varepsilon_t$  est supposé **gaussien**

# Rappel du modèle

Modèle :

$$X_t = \varphi(t) + \varepsilon_t$$

Le terme  $\varepsilon_t$  est obtenu en supprimant la tendance de  $X_t$  :

$$\varepsilon_t = X_t - \varphi(t)$$

$\varepsilon_t$  est supposé **gaussien**

On adopte deux points de vue probabilistes :

- Distribution de Wishart de la matrice de covariance de  $\varepsilon_t$
- Analyse fractale par la matrice de covariance du processus induit par  $\varepsilon_t$

# Plan

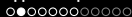
## Approches liées à la statistique géométrique

- Covariance et espérance relationnelles
- Analyse en composantes principales
- Analyse d'opérateurs de covariance

## Approches probabilistes

- **Distribution de Wishart**
- Analyse fractale

## Conclusion et perspectives



# Distribution de Wishart

## Définition (Loi de Wishart centrée)

Soit  $\varepsilon$  un échantillon de  $n$  réalisations indépendantes d'une loi multinormale  $\mathcal{N}_p(0, \Sigma)$ . Alors  $t_{\varepsilon\varepsilon}$  suit une loi de Wishart de degré de liberté  $n$  et de matrice d'échelle  $\Sigma$ . On notera  $t_{\varepsilon\varepsilon} \sim \mathcal{W}_p(\Sigma, n)$ .

Si  $M \sim \mathcal{W}_p(\Sigma, n)$ , la densité s'exprime par :

$$f(M; \Sigma, n) = \frac{|M|^{\frac{n-p-1}{2}} \exp \left\{ -\frac{1}{2} \text{trace}(\Sigma^{-1} M) \right\}}{2^{\frac{np}{2}} \pi^{\frac{p(p-1)}{4}} |\Sigma|^{\frac{n}{2}} \prod_{j=1}^p \Gamma \left( \frac{1}{2}(n-j+1) \right)}$$

Cette loi a pour espérance :

$$E(M) = n\Sigma$$

# Distribution de Wishart

## Classification supervisée

On se place dans le cadre d'un modèle de mélanges de densité de Wishart

Données :

- $\mathcal{X} = (\Gamma_1, n_1, \dots, \Gamma_N, n_N), \Gamma_i = t_{\varepsilon_i \varepsilon_i} \sim \mathcal{W}_p(\Sigma_k, n_i)$
- $K$  classes modélisées chacune par une distribution de Wishart
- $(\pi_k)_{k=1}^K$  poids des classes
- $\mathcal{Z} = (z_{ik})_{\substack{1 \leq i \leq N \\ 1 \leq k \leq K}}$  matrice de classification,  $z_{ik} \in \{0, 1\}$

# Distribution de Wishart

## Classification supervisée

On se place dans le cadre d'un modèle de mélanges de densité de Wishart

Données :

- $\mathcal{X} = (\Gamma_1, n_1, \dots, \Gamma_N, n_N), \Gamma_i = t_{\varepsilon_j \varepsilon_i} \sim \mathcal{W}_p(\Sigma_k, n_i)$
- $K$  classes modélisées chacune par une distribution de Wishart
- $(\pi_k)_{k=1}^K$  poids des classes
- $\mathcal{Z} = (z_{ik})_{\substack{1 \leq i \leq N \\ 1 \leq k \leq K}}$  matrice de classification,  $z_{ik} \in \{0, 1\}$

Objectif :

- Estimation des paramètres  $\Theta = (\Sigma_1, \dots, \Sigma_K)$

$$\operatorname{argmax}_{\Theta} P(\mathcal{X} | \mathcal{Z}, \Theta) = \operatorname{argmax}_{\Theta} \prod_{k=1}^K \left( \prod_{\{i; \Gamma_i \in \mathcal{C}_k\}} f(\Gamma_i; \Sigma_k, n_i) \right)$$



# Distribution de Wishart

## Classification supervisée

On se place dans le cadre d'un modèle de mélanges de densité de Wishart

Données :

- $\mathcal{X} = (\Gamma_1, n_1, \dots, \Gamma_N, n_N)$ ,  $\Gamma_i = t_{\varepsilon_j \varepsilon_i} \sim \mathcal{W}_p(\Sigma_k, n_i)$
- $K$  classes modélisées chacune par une distribution de Wishart
- $(\pi_k)_{k=1}^K$  poids des classes
- $\mathcal{Z} = (z_{ik})_{\substack{1 \leq i \leq N \\ 1 \leq k \leq K}}$  matrice de classification,  $z_{ik} \in \{0, 1\}$

Objectif :

- Estimation des paramètres  $\Theta = (\Sigma_1, \dots, \Sigma_K)$

$$\operatorname{argmax}_{\Theta} P(\mathcal{X} | \mathcal{Z}, \Theta) = \operatorname{argmax}_{\Theta} \prod_{k=1}^K \left( \prod_{\{i; \Gamma_i \in Cl_k\}} f(\Gamma_i; \Sigma_k, n_i) \right)$$

$$\hat{\Sigma}_k = \frac{\sum_{i=1}^{N_k} \Gamma_{ik}}{\sum_{j=1}^{N_k} n_{jk}} = \frac{\sum_{i=1}^{N_k} n_{ik} \left( \frac{1}{n_{ik}} t_{\varepsilon_{ik} \varepsilon_{ik}} \right)}{\sum_{j=1}^{N_k} n_{jk}} \quad ; \quad \operatorname{card}(Cl_k) = N_k$$

# Distribution de Wishart

## Classification supervisée

La tendance est supprimée en retranchant de chaque variable son espérance relationnelle :

$$\varepsilon = X - E(X|g_\theta)$$

# Distribution de Wishart

## Classification supervisée

La tendance est supprimée en retranchant de chaque variable son espérance relationnelle :

$$\varepsilon = X - E(X|g_\theta)$$

### Application au mouvement dansé

Test sur un ensemble de  $N = 219$  mouvements répartis dans  $K = 14$  classes avec  $\pi_k$  équiprobables (leave-one out)

| $\theta$ | 1     | 2     | 5     | 10    | <i>max</i> |
|----------|-------|-------|-------|-------|------------|
| Taux     | 77.17 | 84.93 | 93.60 | 94.06 | 97.71      |

**Table:** Classification supervisée en supprimant la tendance en fonction du niveau de lissage.

# Distribution de Wishart

## Classification non supervisée

Les données sont incomplètes :  $Z$  inconnue.

# Distribution de Wishart

## Classification non supervisée

Les données sont incomplètes :  $\mathcal{Z}$  inconnue.

Les paramètres à estimer sont  $\Theta = (\pi_1, \dots, \pi_K, \Sigma_1, \dots, \Sigma_K)$

$$\mathcal{L}_c(\Theta) = P(\mathcal{X}, \mathcal{Z} | \Theta) = \prod_{i=1}^N \prod_{k=1}^K (\pi_k f(\Gamma_i; \Sigma_k, n_i))^{z_{ik}}$$

# Distribution de Wishart

## Classification non supervisée

Les données sont incomplètes :  $\mathcal{Z}$  inconnue.

Les paramètres à estimer sont  $\Theta = (\pi_1, \dots, \pi_K, \Sigma_1, \dots, \Sigma_K)$

$$\mathcal{L}_c(\Theta) = P(\mathcal{X}, \mathcal{Z} | \Theta) = \prod_{i=1}^N \prod_{k=1}^K (\pi_k f(\Gamma_i; \Sigma_k, n_i))^{z_{ik}}$$

$$\operatorname{argmax}_{\Theta} \mathcal{L}_c(\Theta) = ?$$

Algorithme EM pour matrices de Wishart

# Distribution de Wishart

## Classification non supervisée

### Algorithme EM pour matrices de Wishart [HSJL07]

$$E \log \mathcal{L}_c(\Theta) = \sum_{i=1}^N \sum_{k=1}^K E(z_{ik}) \{ \log \pi_k + \log f(\Gamma_i; \Sigma_k, n_i) \}$$

E-step : Estimation des  $z_{ik}^{(t)}$

$$\hat{z}_{ik}^{(t)} = \frac{\hat{\pi}_k^{(t)} f(\Gamma_i; \Sigma_k^{(t)}, n_i)}{\sum_{l=1}^g \hat{\pi}_l^{(t)} f(\Gamma_i; \Sigma_l^{(t)}, n_i)}$$

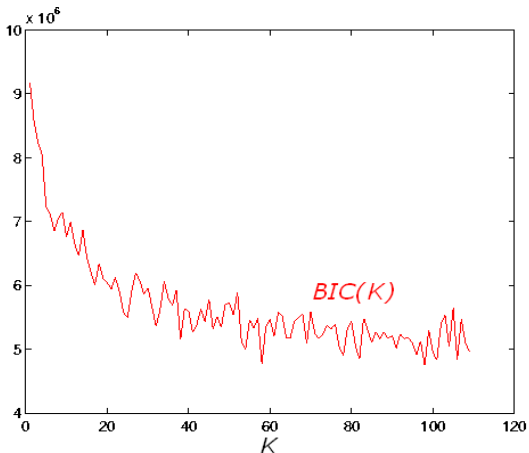
M-step : Estimation des  $\Theta_k^{(t+1)} = (\hat{\pi}_k^{(t+1)}, \hat{\Sigma}_k^{(t+1)})$

$$\hat{\pi}_k^{(t+1)} = \frac{\sum_{i=1}^N \hat{z}_{ik}^{(t)}}{N} \quad ; \quad \hat{\Sigma}_k^{(t+1)} = \frac{\sum_{i=1}^N \hat{z}_{ik}^{(t)} \Gamma_i}{\sum_{j=1}^N \hat{z}_{jk}^{(t)} n_j}$$

# Distribution de Wishart

## Classification non supervisée : validation

Sélection du nombre optimal de clusters : critère d'information



# Plan

## Approches liées à la statistique géométrique

- Covariance et espérance relationnelles
- Analyse en composantes principales
- Analyse d'opérateurs de covariance

## Approches probabilistes

- Distribution de Wishart
- **Analyse fractale**

## Conclusion et perspectives

# Analyse fractale

## Mouvement brownien fractionnaire

### Définition

*Un MBF d'autosimilarité  $H \in ]0, 1[$ , noté  $(Z_t)_{t \in \mathbb{R}}$ , est un processus gaussien centré réel de matrice de covariance :*

$$V_H(i, j) = E(Z_i Z_j) = \frac{1}{2} (|t_i|^{2H} + |t_j|^{2H} - |t_i - t_j|^{2H})$$

# Analyse fractale

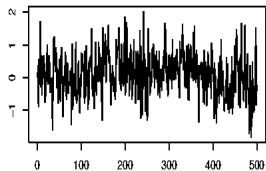
## Mouvement brownien fractionnaire

### Définition

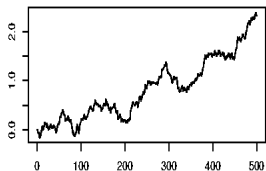
Un MBF d'autosimilarité  $H \in ]0, 1[$ , noté  $(Z_t)_{t \in \mathbb{R}}$ , est un processus gaussien centré réel de matrice de covariance :

$$V_H(i, j) = E(Z_i Z_j) = \frac{1}{2} (|t_i|^{2H} + |t_j|^{2H} - |t_i - t_j|^{2H})$$

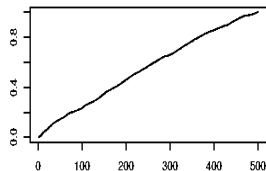
H= 0.01



H= 0.5



H= 0.99



# Analyse fractale

## Échantillonnage irrégulier

On adopte le modèle :

$$X_t = \varphi(t) + \varepsilon_t = mt + \sqrt{a}Z_t$$

Les méthodes de simulation et d'estimation sont limitées

# Analyse fractale

## Échantillonnage irrégulier

On adopte le modèle :

$$X_t = \varphi(t) + \varepsilon_t = mt + \sqrt{a}Z_t$$

Les méthodes de simulation et d'estimation sont limitées

|                              |  |
|------------------------------|--|
| Simulation : <b>Cholesky</b> | Estimation : <b>maximum de vraisemblance</b> |
|------------------------------|--|

⇒ Estimation de  $m$ ,  $a$  et  $H$

# Analyse fractale

## Échantillonnage irrégulier

On adopte le modèle :

$$X_t = \varphi(t) + \varepsilon_t = mt + \sqrt{a}Z_t$$

Les méthodes de simulation et d'estimation sont limitées

|                              |  |
|------------------------------|--|
| Simulation : <b>Cholesky</b> | Estimation : <b>maximum de vraisemblance</b> |
|------------------------------|--|

⇒ Estimation de  $m$ ,  $a$  et  $H$

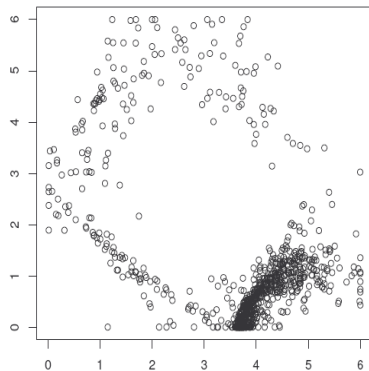
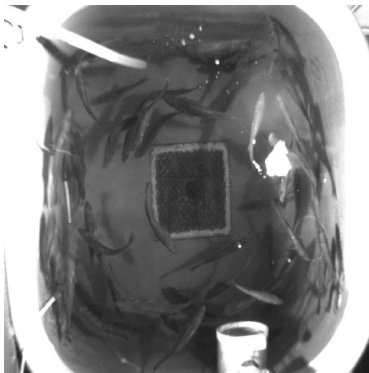
Une étude a été menée [**HSJL08**] sur des signaux de longueur ...

- forte : préservation des propriétés asymptotiques de l'estimateur
- faible : biais réduit pour un échantillonnage uniforme

# Analyse fractale

## Application à l'analyse du comportement

Estimation de l'autosimilarité locale d'un bar évoluant dans un bassin aquacole :



# Analyse fractale

## Application à l'analyse du comportement

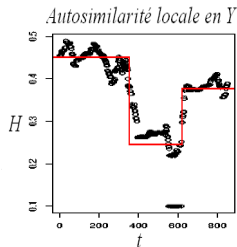
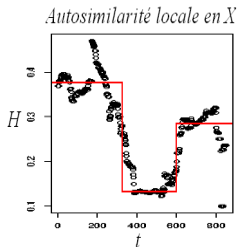
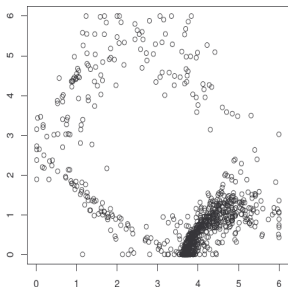
- Dates de capture irrégulières ( $\approx 0.2$  sec.)
- Estimations locales de  $H$  sur les trajectoires en  $X$  et  $Y$  ( $\theta=3$  sec.)



# Analyse fractale

## Application à l'analyse du comportement

- Dates de capture irrégulières ( $\approx 0.2$  sec.)
- Estimations locales de  $H$  sur les trajectoires en  $X$  et  $Y$  ( $\theta=3$  sec.)



# Plan

## Approches liées à la statistique géométrique

- Covariance et espérance relationnelles
- Analyse en composantes principales
- Analyse d'opérateurs de covariance

## Approches probabilistes

- Distribution de Wishart
- Analyse fractale

## Conclusion et perspectives

# Conclusion : rappel des contributions

- Formalisme de la covariance et de l'espérance relationnelles
- Intégration de la covariance relationnelle dans l'ACP et l'analyse d'opérateurs
- Modèle de classification multidimensionnelle supervisée et non supervisée par Wishart
- Analyse fractale avec échantillonnage irrégulier
- Analyse du mouvement : reconstruction, segmentation, classification, comportement

# Perspectives

- Croisements entre les modèles

Modèle de Wishart sur la covariance relationnelle

ACP sur les variables d'un mouvement brownien fractionnaire

- Optimisation

Choix du  $\theta$

Modèles contraints

- Démarche plus expérimentale

Segmentation temporelle

Autres applications : traitement d'images ...

# Références

## Covariance et espérance relationnelles

[HLSJ07] S. Hidot, J.-Y. Lafaye et C. Saint-Jean, **Propriétés et interprétation de la covariance relationnelle en ACP**. Revue Traitement du Signal, 24(1): 29-37, 2007.

## ACP relationnelle

[HLSJ06b] S. Hidot, J.-Y. Lafaye et C. Saint-Jean, **ACP relationnelle pour l'analyse du mouvement : Application à la danse**. RFIA'06.

## Analyse factorielle d'opérateurs

[HLSJ06c] S. Hidot, J.-Y. Lafaye et C. Saint-Jean, **Analyse factorielle d'opérateurs pour l'étude du mouvement : Application à la danse**. Atelier "Fouille de données", EGC'06.

## Analyse discriminante d'opérateurs

[HLSJ06a] S. Hidot, J.-Y. Lafaye and C. Saint-Jean, **Discriminant factor analysis for movement recognition: application to dance**. ICCVG'06, Special issue in Journal of Machine Graphics and Vision (à paraître).

## Algorithme EM pour matrices de Wishart

[HSJL07] S. Hidot, C. Saint-Jean et J.-Y. Lafaye, **Classification de signaux multidimensionnels utilisant la distribution de Wishart : Application à la reconnaissance de mouvements**. GRETSI'07.

## Analyse fractale et échantillonnage irrégulier

[HSJL08] S. Hidot, C. Saint-Jean et J.-Y. Lafaye, **Étude expérimentale de l'influence d'un échantillonnage irrégulier dans l'estimation du paramètre de Hurst**. À paraître dans la Revue de Statistique Appliquée, 2008.